

颈部CT诊断

颈部正常CT表现

- ❖ 上起口底，下至胸廓入口。
- ❖ 为了叙述方便，大致分为四个区域。

脏器区：位于颈部最前面，主要结构是下咽部、喉部和气管、食管、甲状腺、甲状旁腺等。

两个外侧区：包括胸锁乳突肌和颈血管鞘。

上颈部颈内静脉位于颈动脉之后；

中颈部颈内静脉位于颈动脉之外；

下颈部颈内静脉位于颈动脉之前；

颈动脉分叉约在舌骨平面。

后区主要是颈椎和肌肉。

颈部淋巴： 主要三条淋巴链

颈后区副神经淋巴链；

颈血管鞘区颈内静脉淋巴链；

颈基底部颈横淋巴链连接副神经和颈内静脉淋巴链（前后走行）。

- ❖ 颈内静脉淋巴结又称颈深淋巴结，分三组：
上组为颈内静脉二腹肌淋巴结；
中组为颈内静脉肩胛舌骨肌淋巴结；
下组为副神经淋巴结（颈内静脉后）。

颈部异常CT表现

- ❖ 颈部结构、形态与大小的改变
- ❖ 异常肿块的出现
- ❖ 颈部脂肪间隙的受压与移位
- ❖ 病变密度的改变

颈部肿块分类

- ❖ 先天发育异常：甲舌囊肿、鳃裂囊肿、皮样囊肿等；
- ❖ 炎症性：单纯性颈部淋巴结炎、结核性淋巴结炎、涎腺炎等；
- ❖ 肿瘤性：
 - 1、原发良性—甲状腺瘤、涎腺混合瘤、血管或淋巴管瘤、颈动脉体瘤、神经源性肿瘤、脂肪瘤等；原发恶性—甲状腺癌、涎腺癌、淋巴瘤等。
 - 2、转移性：以头颈部肿瘤常见。

颈动脉体瘤 carotid body tumor

- ❖ 为副神经节瘤，是发生于颈动脉体的化学感受器的肿瘤。
- ❖ 常见于颈动脉分叉处；多见于青壮年女性。
- ❖ 质地中等，有包膜，表面光滑；有丰富的滋养血管，为富含血管性肉芽组织；

- ❖ 由颈外动脉供血，增大后可压迫或包绕颈总动脉和颈内、外动脉，并压迫神经（颅11、12，颈交感）。
- ❖ 淋巴或远处转移、切除后复发是恶性征象。
- ❖ 临床表现为颈部肿块、压迫后可出现晕厥及血压变化、Horner综合征。

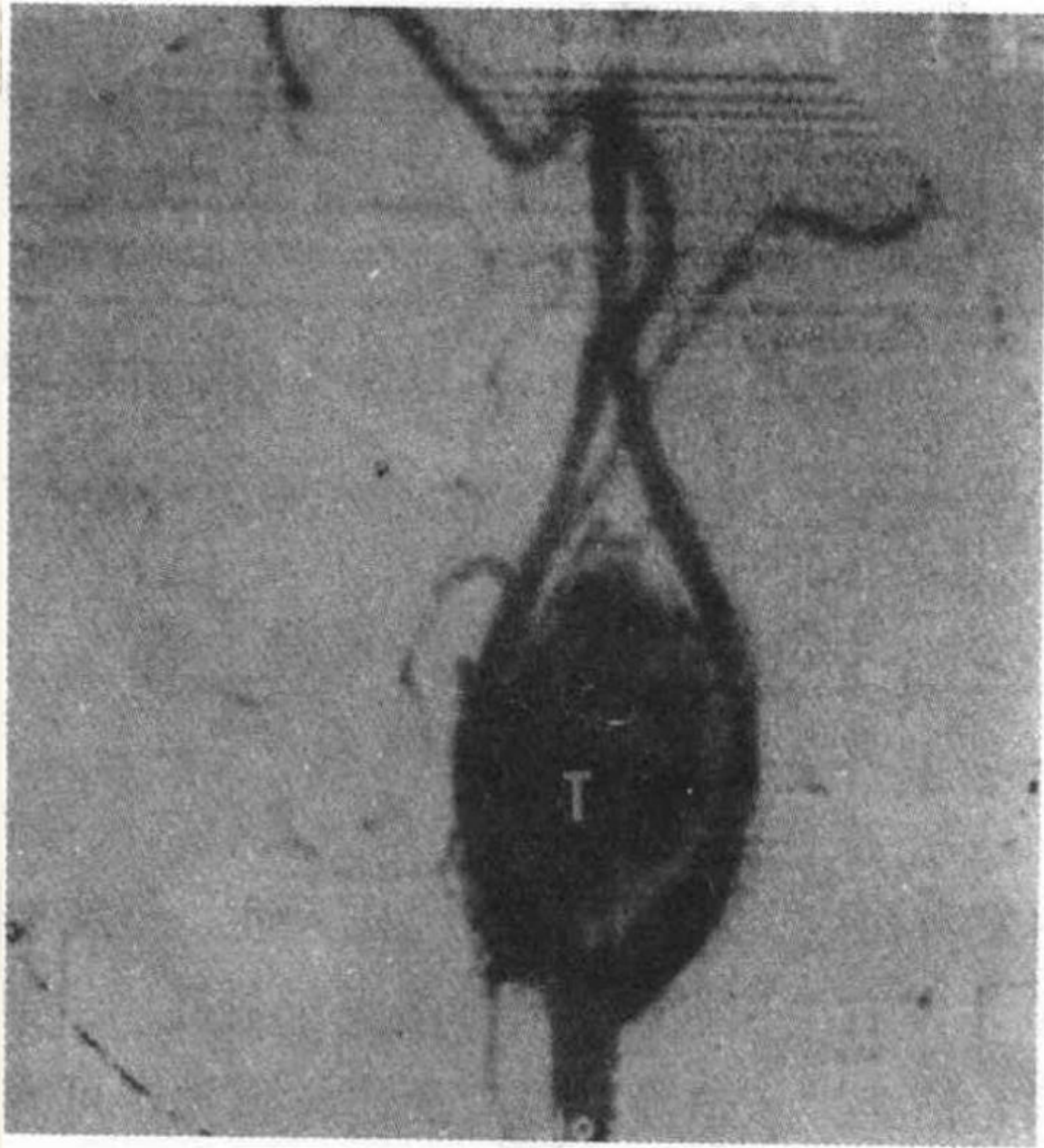


图 12-1 颈动脉体瘤（颈动脉造影）
颈动脉分叉处增宽，肿瘤（T）呈“染色”现象

❖CT表现：

- ❖ 颈动脉间隙肿块，边缘清楚、规则，增强后明显强化；
- ❖ 颈内外动脉受推移（颈内动脉后移、颈外动脉前移），间距增大；
- ❖ CTA三维重建显示更直观。

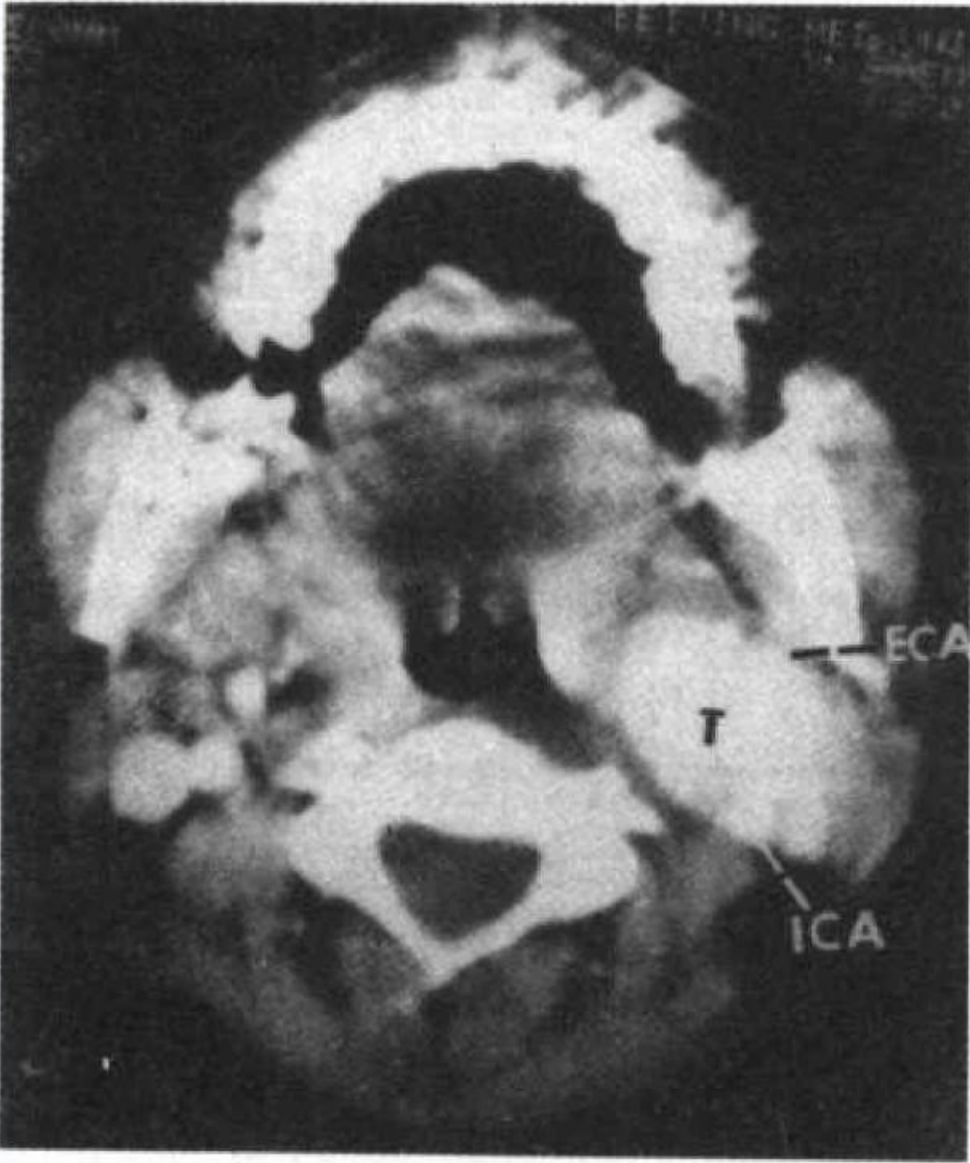


图 12-5 左颈动脉体瘤
(动态增强 CT 扫描)
颈动脉分叉处高密度团块 (T), 颈外动脉
(ECA) 前移, 颈内动脉 (ICA) 稍后移

颈动脉体瘤



Figure 12. Carotid body tumor. On the contrast-enhanced axial CT scan, the lesion has a well-defined, smoothly marginated, strongly enhancing mass located between the external (external carotid) and internal (internal jugular) carotid arteries. Arrowhead indicates internal jugular vein.

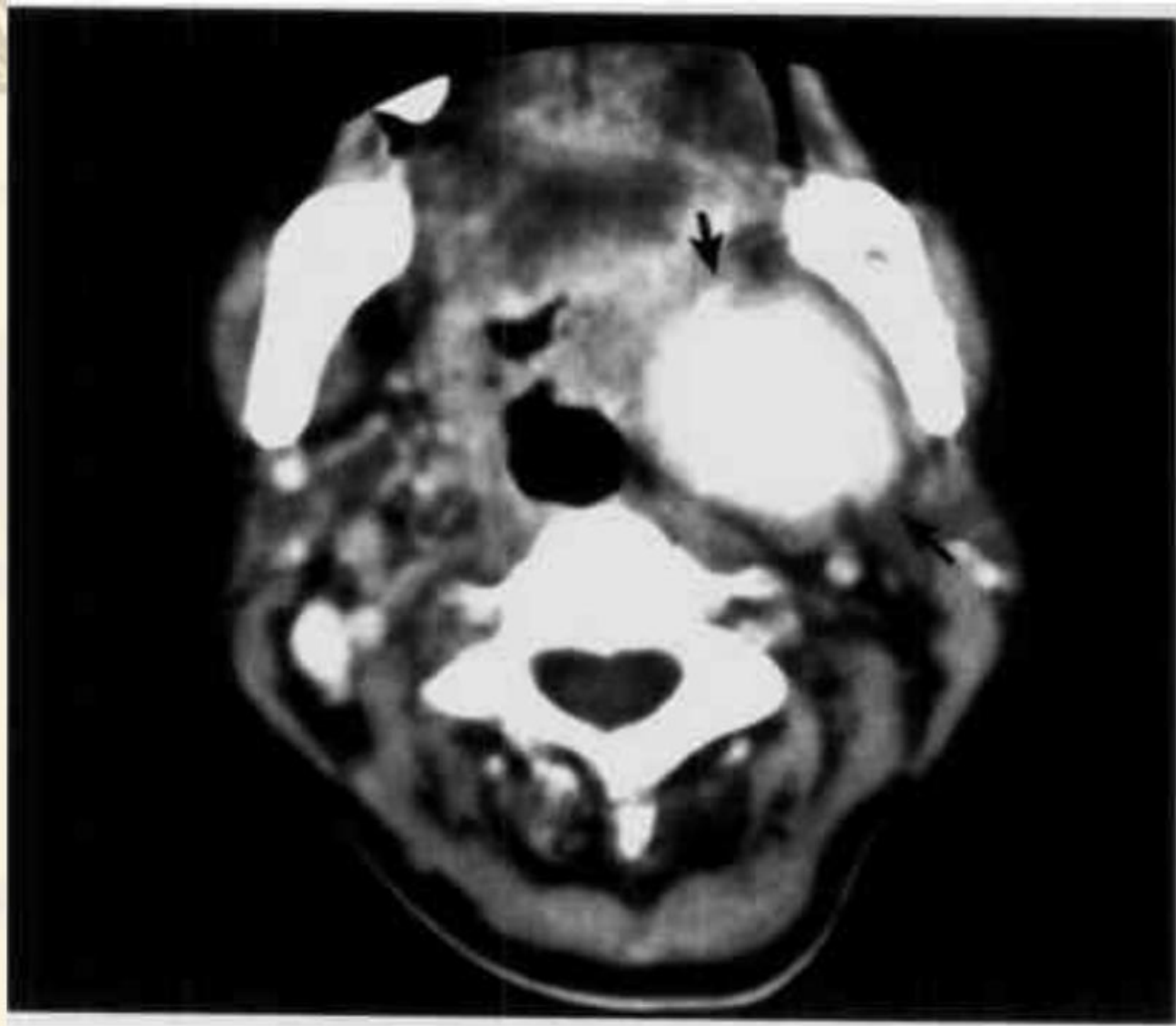


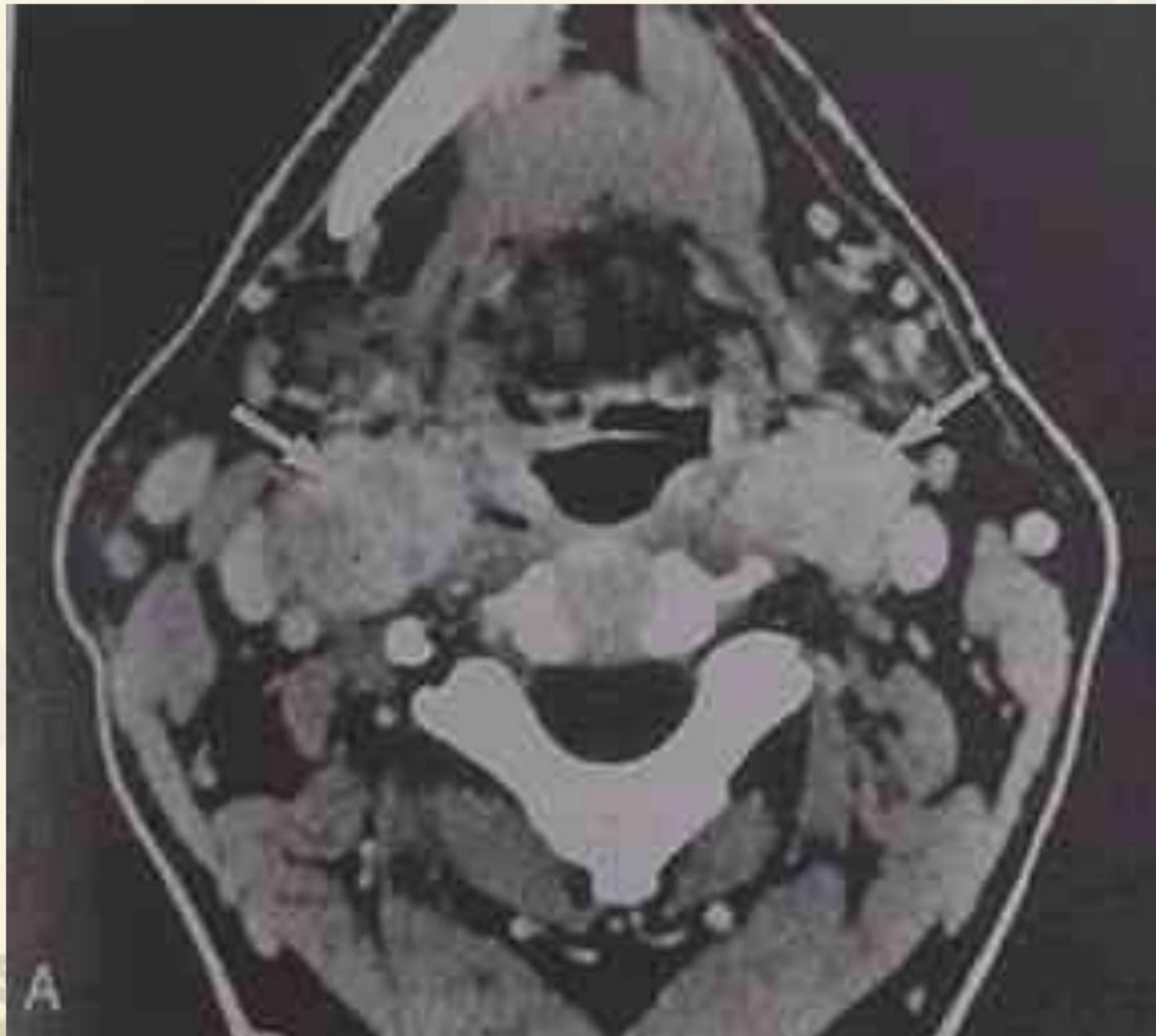
图 3-137 左颈动脉体瘤增强扫描，左颈内、颈外动脉（↑）被肿瘤推压变扁，分别向前及向后移位



图 3-138. 右颈动脉体瘤增强扫描，肿瘤(↑)
普遍强化基础上，有多数性条状分隔的高密度强化。
肿瘤推压右侧颌下腺向前移位。

- ❖ 诊断：
- ❖ 颈动脉间隙肿块、增强明显强化应虑及本病。
- ❖ CT、MRI 为主要检查方法。
- ❖ 鉴别诊断：
 - ❖ 与颈动脉间隙内的神经鞘瘤（强化不甚明显、可囊变）、血管瘤（钙化率高，静脉石为特征）等鉴别。

双侧颈动脉体瘤



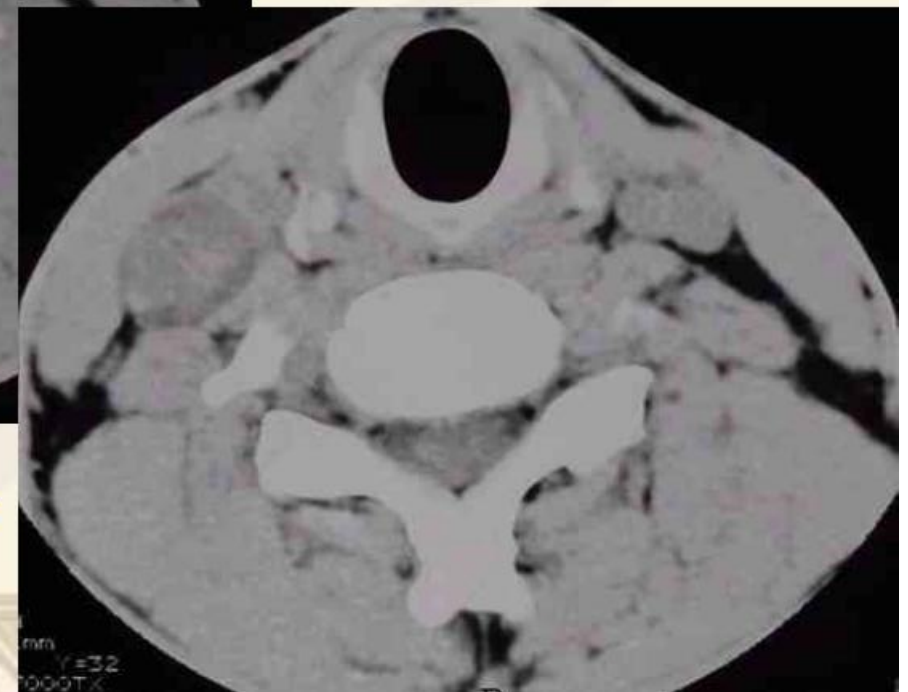
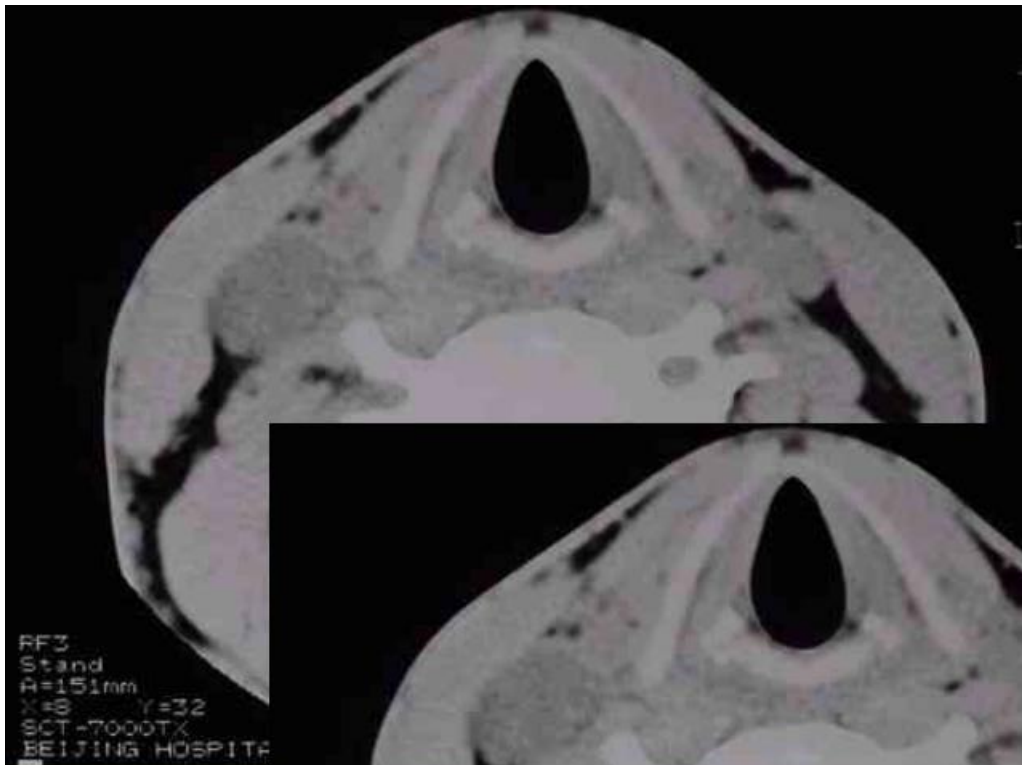
神经源性肿瘤 neurogenic tumor

- ❖ 包括神经鞘瘤、神经纤维瘤和神经源性肉瘤；
- ❖ 神经鞘瘤（neurilemomas）为起源于神经鞘雪旺氏细胞的良性肿瘤。
- ❖ 常见于颈动脉间隙，来自迷走、舌下神经干及颈交感丛。
- ❖ 肿瘤圆形，表面光滑，包膜完整。肿瘤较大时常见液化、坏死。
- ❖ 多发于30-40岁成年人，表现为颈侧部肿块，生长慢，界清、光滑、质软。

颈部神经源性肿瘤CT表现

- ❖ 颈动脉间隙内软组织密度肿块，圆形、界清；密度均匀或囊变。
- ❖ 增强后有一定程度强化，小肿块均匀强化，较大肿瘤肿瘤坏死液化区不强化。
- ❖ 颈内外动脉被向前推移；分叉可扩大，但不如颈动脉体瘤常见或明显。

神经鞘瘤,为起源于神经鞘膜的施万细胞的良性肿瘤。



Male of 27, 发现右颈部包块两月余

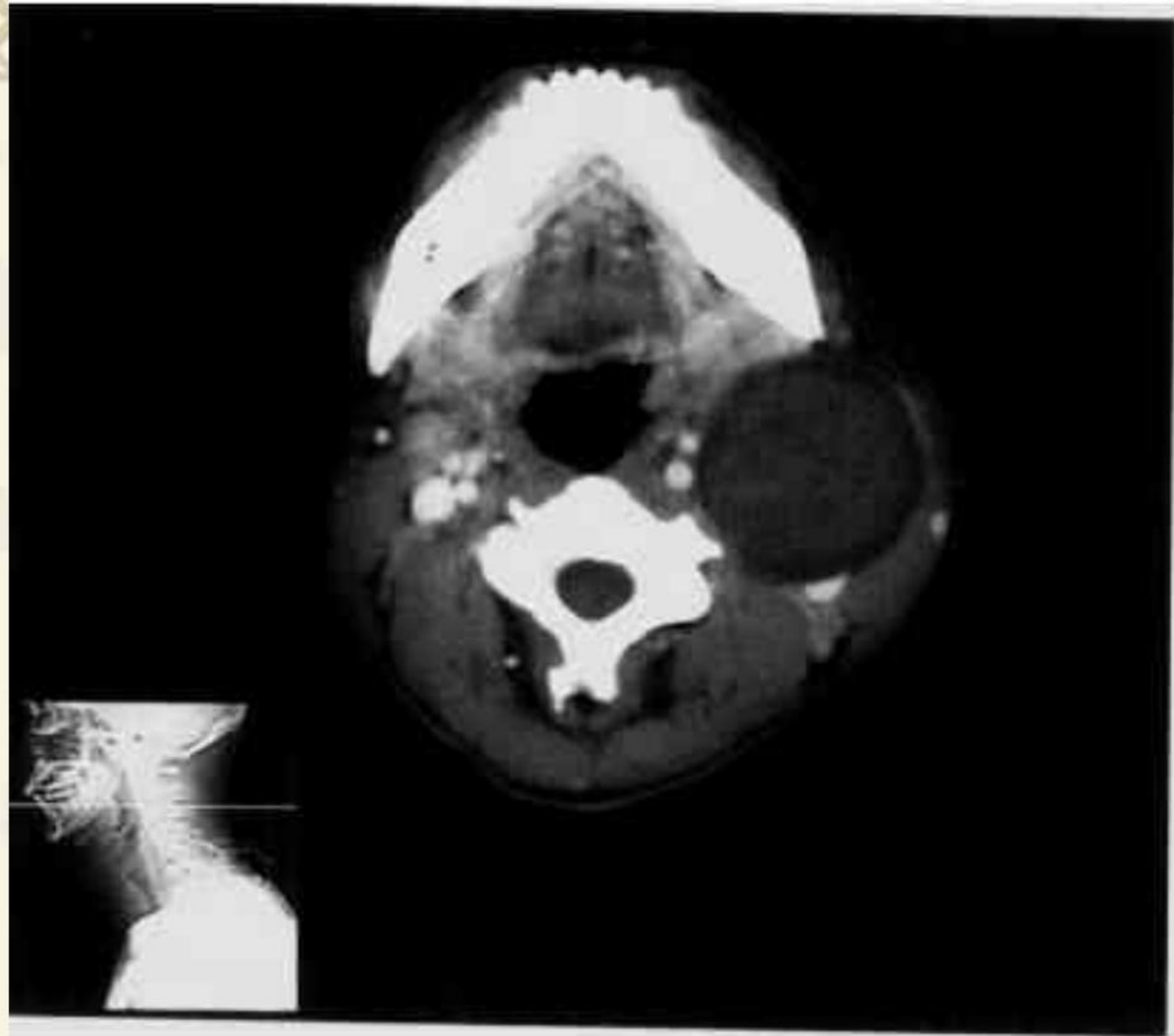


图 3-140 颈部神经纤维瘤 增强扫描

Figure 14. Vagus nerve cystic schwannoma. Clinical examination was unremarkable. Contrast-enhanced axial CT scan the appearance of this lesion, with central low attenuation and peripheral contrast enhancement, is not specific. The only clue to the correct diagnosis is the location between the common bifurcation (arrows) and internal jugular vein (curved arrow).

迷走神经
囊性神经鞘瘤

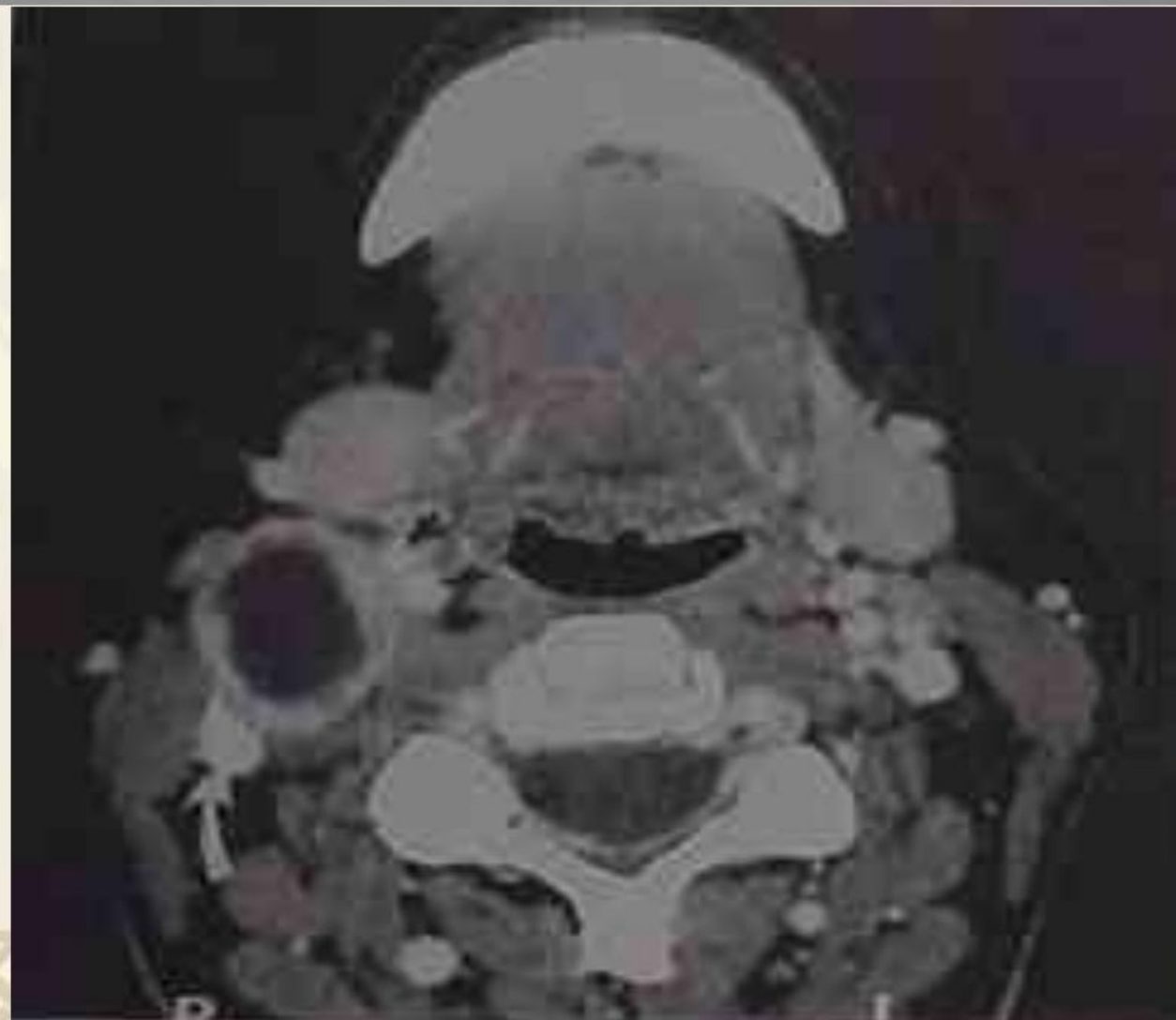
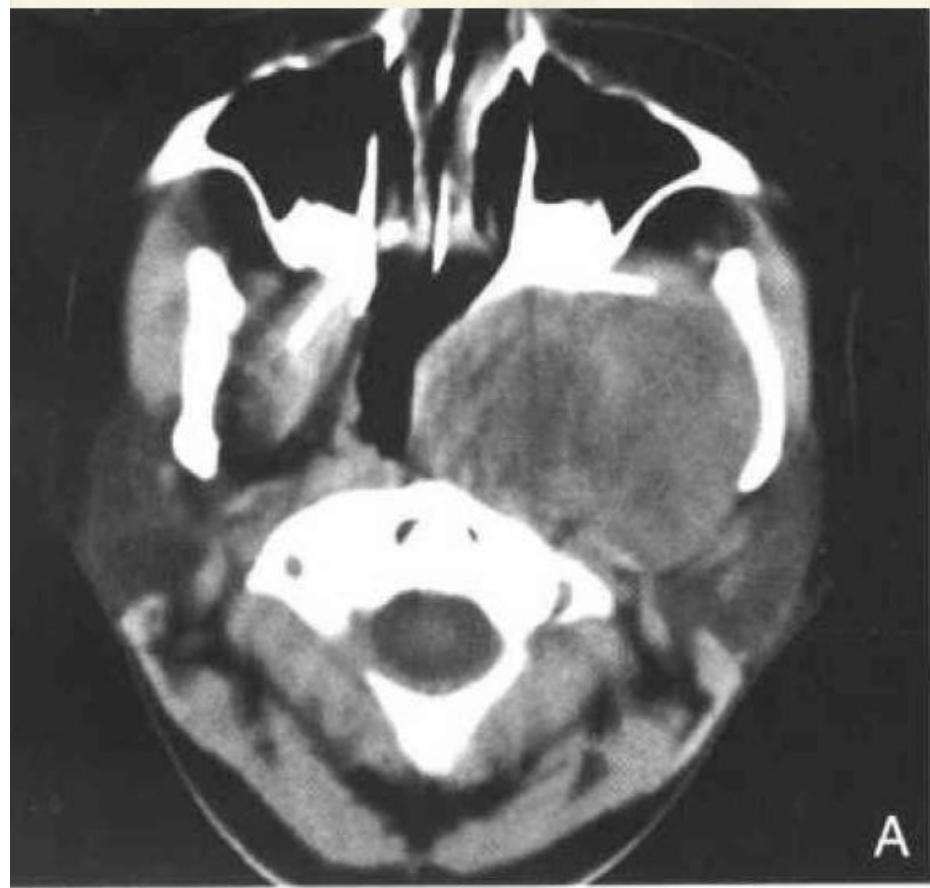
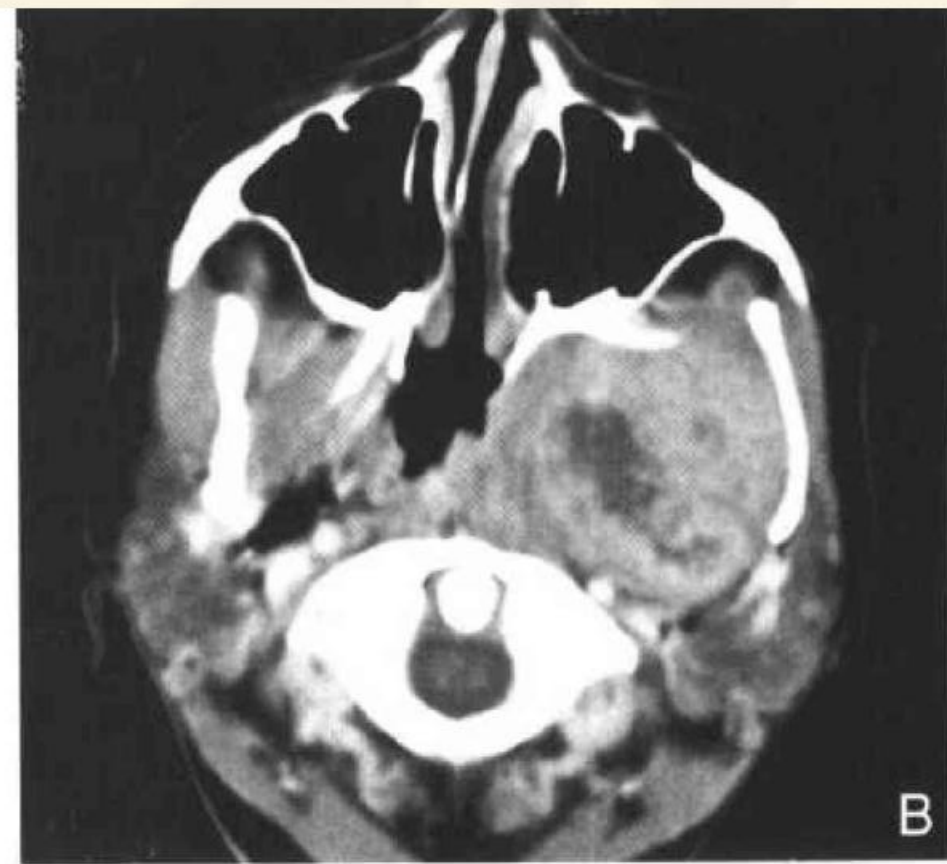




图 12-8 左颈神经纤维瘤（动态增强 CT 扫描）
颈内动脉 (ICA) 被肿瘤 (T) 推移
向外，无肿瘤“染色”



A



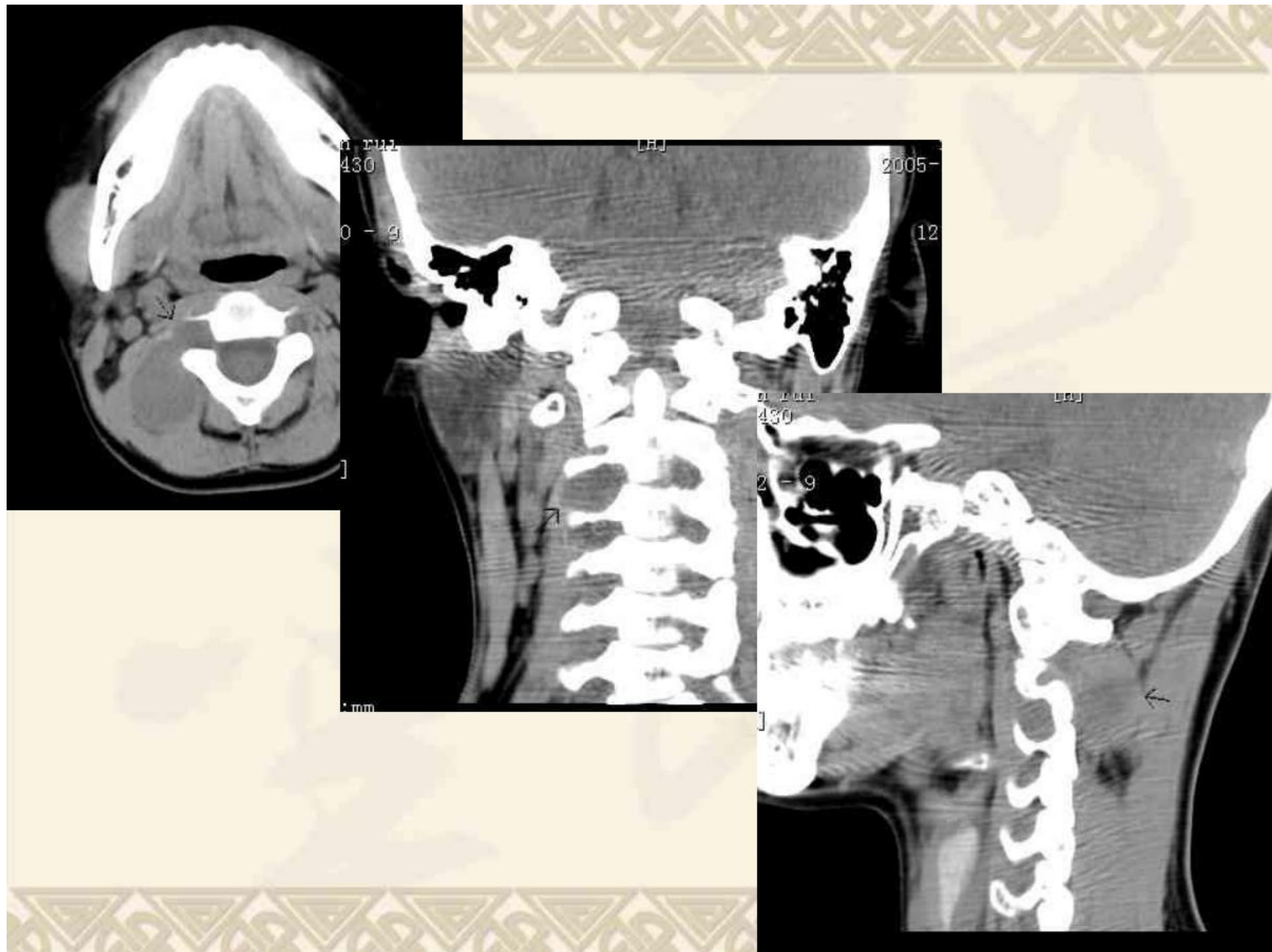
B

图 23-10-5 左咽旁间隙区神经鞘瘤



图 23-10-8 右颈动脉间隙神经鞘瘤

男性，42岁。右颈上部无痛性肿块3年。
增强CT横断面示：右侧颈上部有椭圆形软组织肿块影。病变内部呈多囊状改变，其囊隔和边缘实质区强化不明显。境界清晰。





颈淋巴管瘤 lymphangioma

- ❖ 又称先天性囊状水瘤，非真性肿瘤，是一种先天性错构瘤；90%发生于2岁以下婴幼儿。
- ❖ 为胚胎发育过程中某些部位原始淋巴囊与淋巴系统隔绝后所发生的肿瘤样畸形；
- ❖ 肿瘤由增生、扩张及结构紊乱的淋巴管组成；呈多房性囊肿，壁甚薄，内含淋巴液。
- ❖ 临床表现为颈侧部质软包块，无痛，有波动感。易并发感染及囊内出血。

颈淋巴管瘤CT表现

- ❖ 颈侧部低密度囊性病灶，**好发于胸锁乳突肌前方**，相当于颌下腺后方的颌下间隙内，圆形或类圆形，常多囊；
- ❖ 增强无强化。
- ❖ 合并感染、出血则囊内密度增高。肿瘤可向周围结构广泛浸润生长，无明显边界。



图 23-8-3 左面颊部淋巴管瘤

女性，4岁。右面颊部无痛性肿块4年。
检查：右面颊部肿块质地软，界限不清。CT横
断面示：右面颊部皮下组织区有弥漫网状软组
织增生影，边界不清。

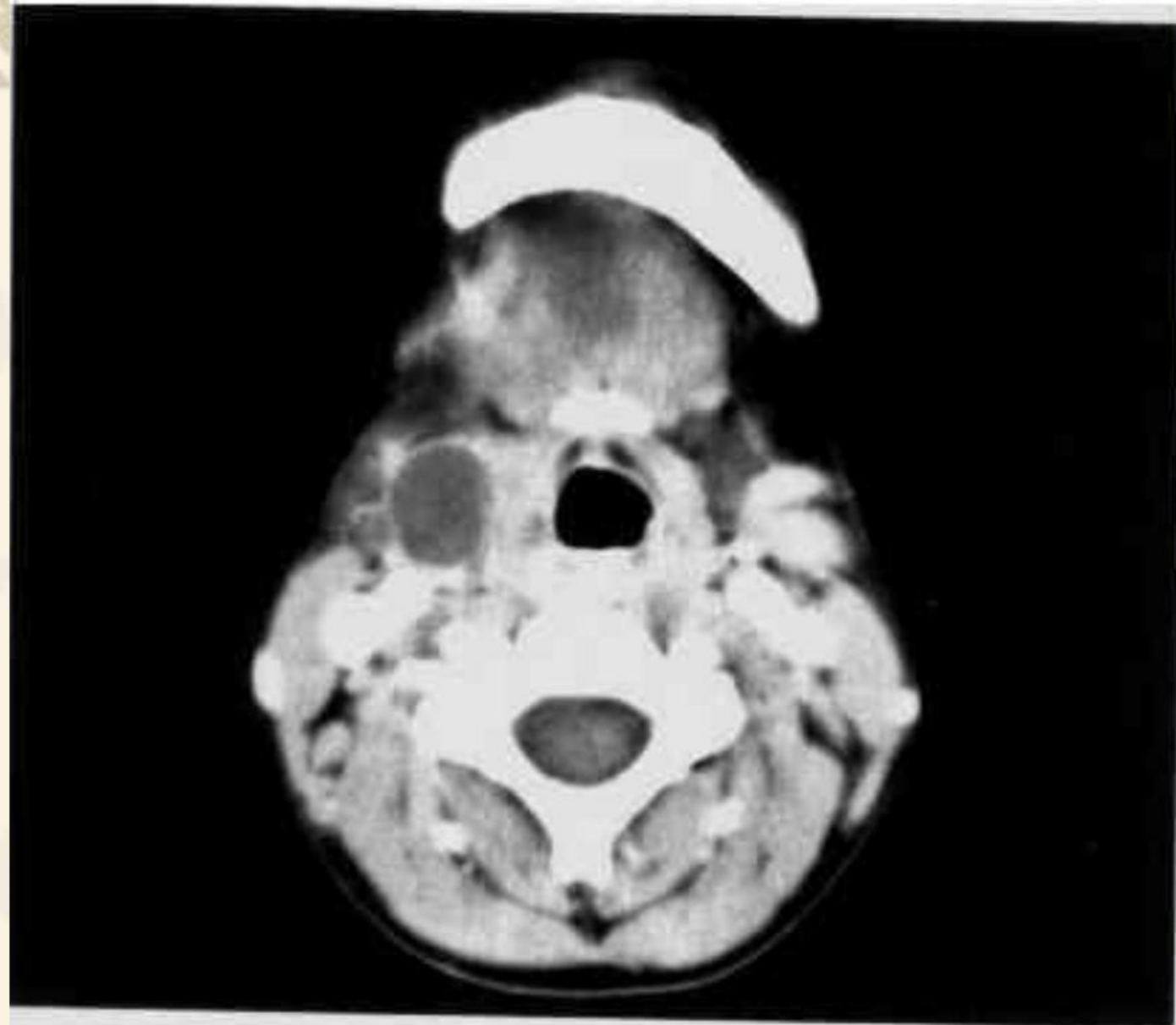


图 3-142 右颈胸锁乳突肌前方囊性淋巴管瘤，
大囊外侧有 3 个小囊

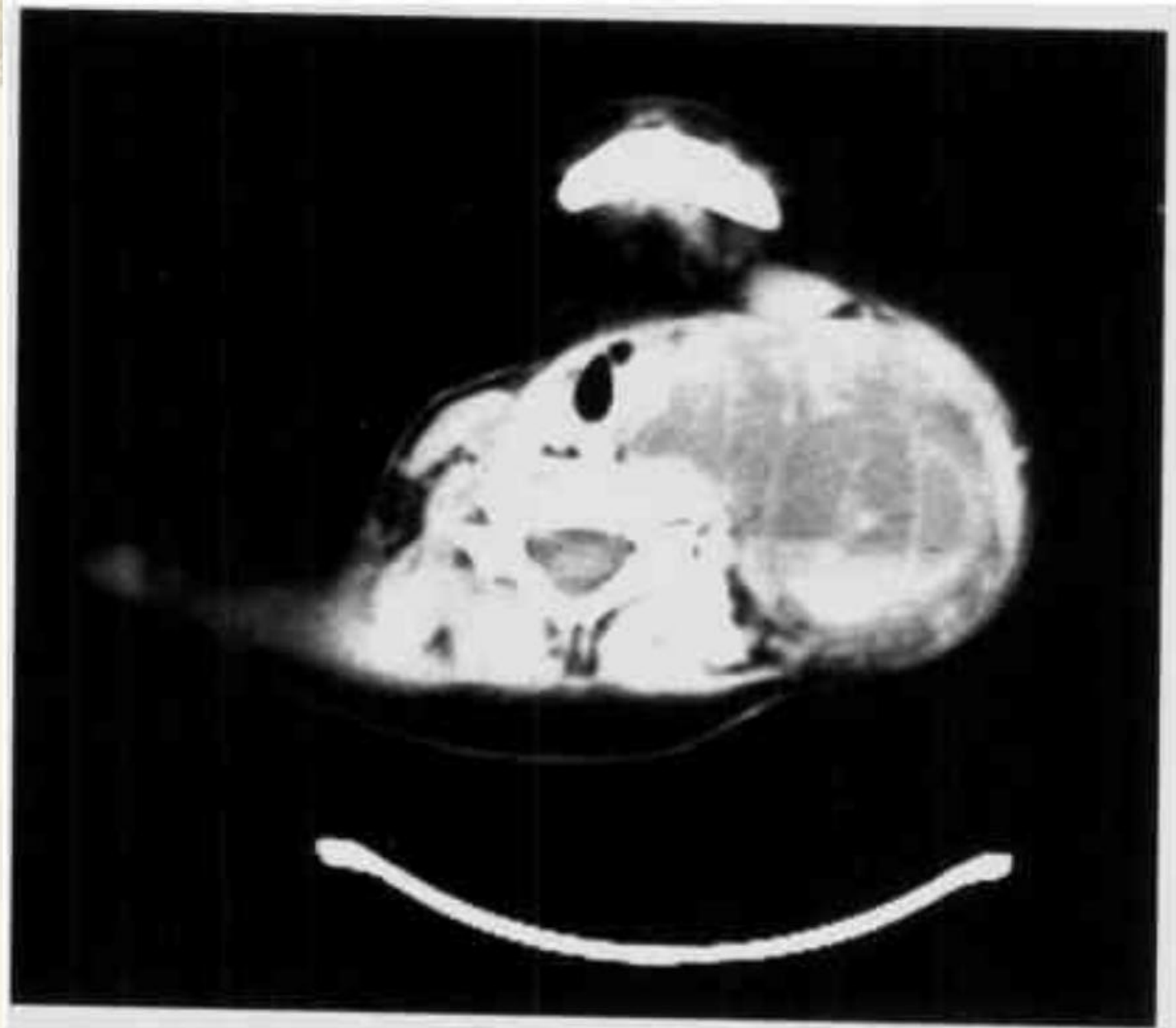


图 3-143 左颈淋巴管瘤出血，有“液-液平面”
征

- ❖ 诊断与鉴别诊断:
- ❖ 婴幼儿+临床+影像
- ❖ 与鳃裂囊肿鉴别：单囊，少出血。

颈淋巴结结核

- ❖ 较常见，多见于年轻人；以一侧多见。
- ❖ 肿大淋巴结常多个发生，直径多在1-2cm间，可融合。
- ❖ 病理特征为干酪样变，形成脓肿破溃可穿破皮肤形成窦道。
- ❖ 临幊上结核中毒症状，颈部淋巴结肿大、窦道等。

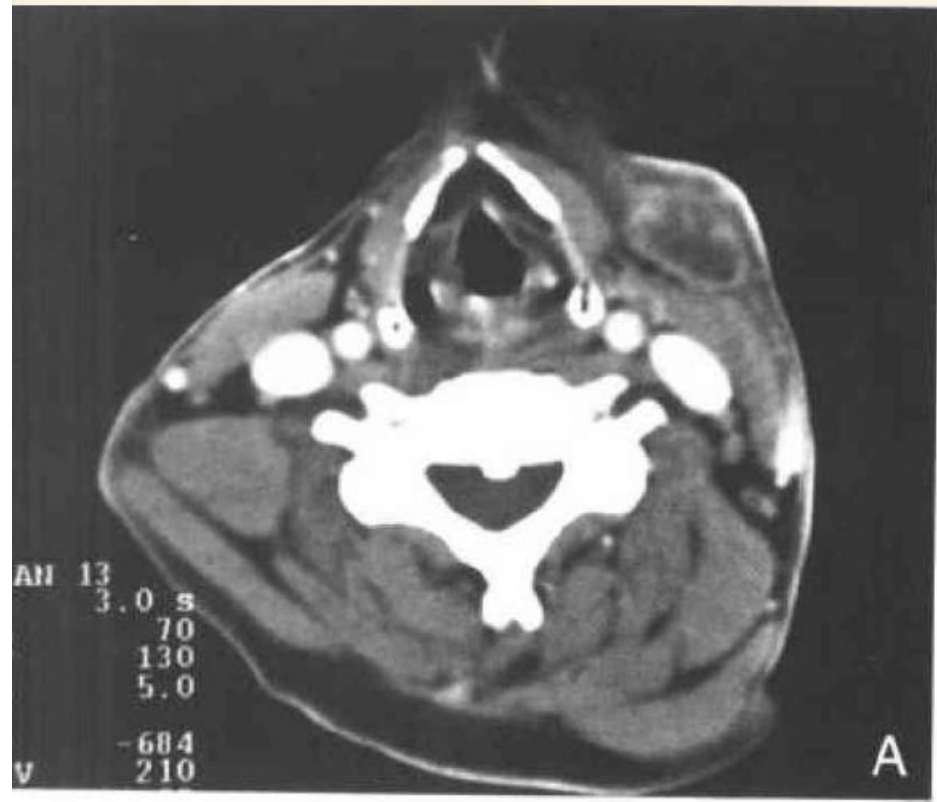
颈淋巴结结核CT表现

- ❖ 胸锁乳突肌前后缘单个或多个结节影，CT值与肌肉、血管接近边界清楚，边缘密度高于中心；
- ❖ 增强后呈边缘性环状强化，环壁较规则，中心不强化，提示干酪性坏死，。
- ❖ 常见数个环形强化病灶融合在一起。

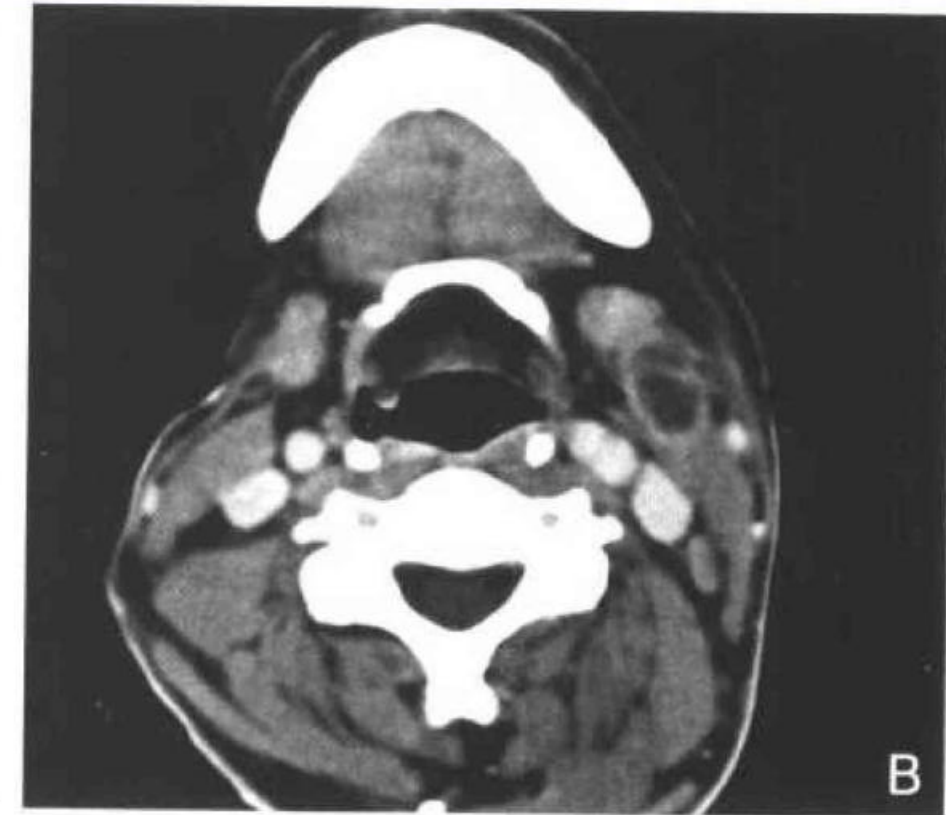


图 21-3-4 左颌下区淋巴结结核

女性，44岁。左颌下肿块5月。检查：左颌上部肿块大小 $2.5\text{cm} \times 4\text{cm}$ ，质地中等，活动，界限清晰。增强CT横断面示：左颌下腺后方，胸锁乳突肌前方有类圆形软组织肿块影，病变直径大于 1.5cm 。内部密度均匀，边界清晰。



A



B

图 21-3-5 左颈部淋巴结结核（多发）



A

左颈部淋巴结结核

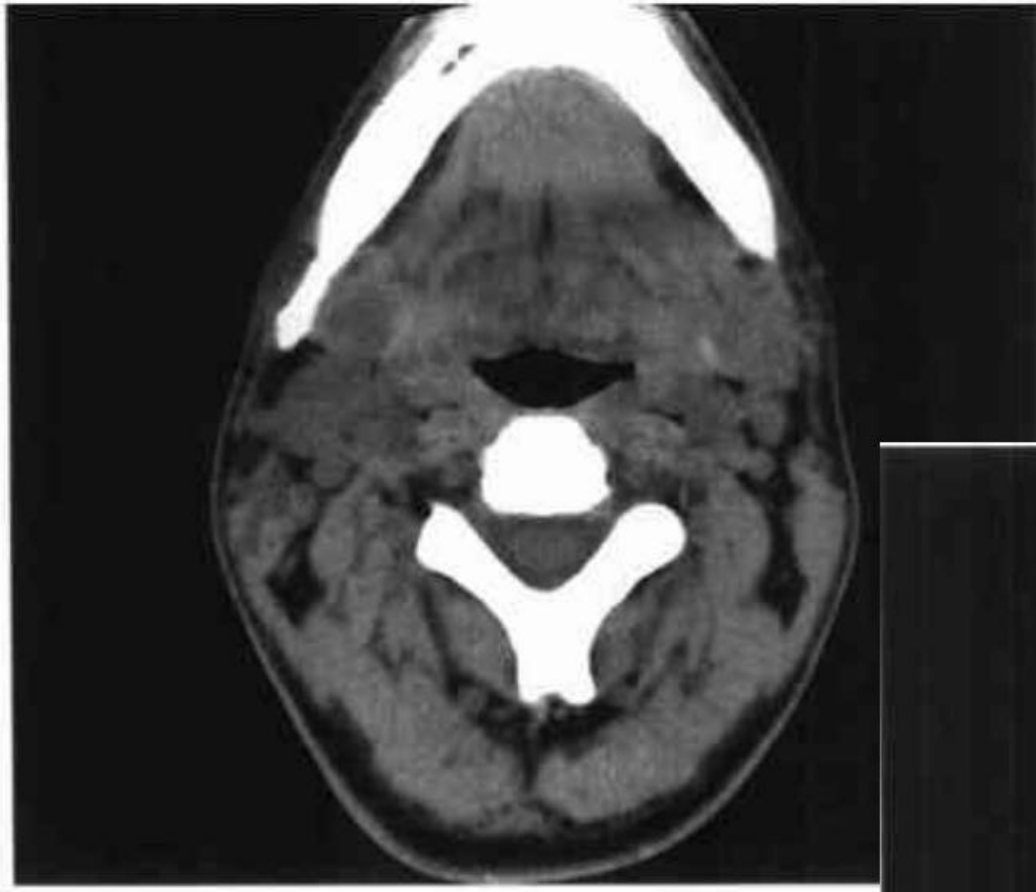


图 3-145 右颌下腺后方颈淋巴结核
(↑), 平扫

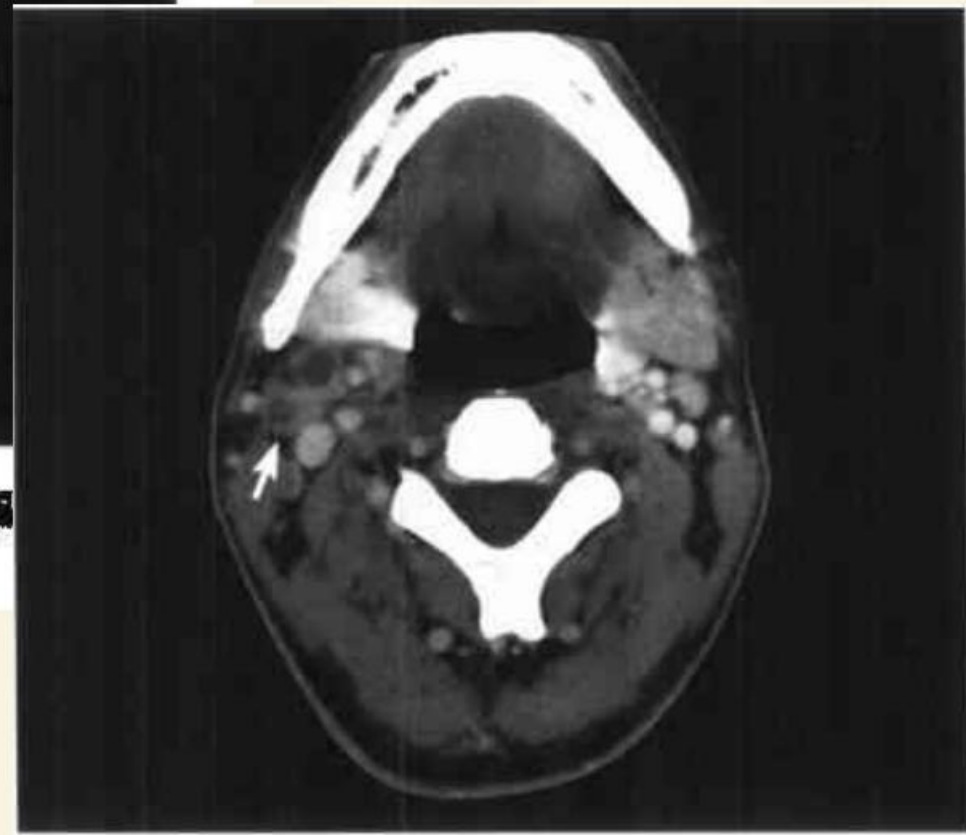


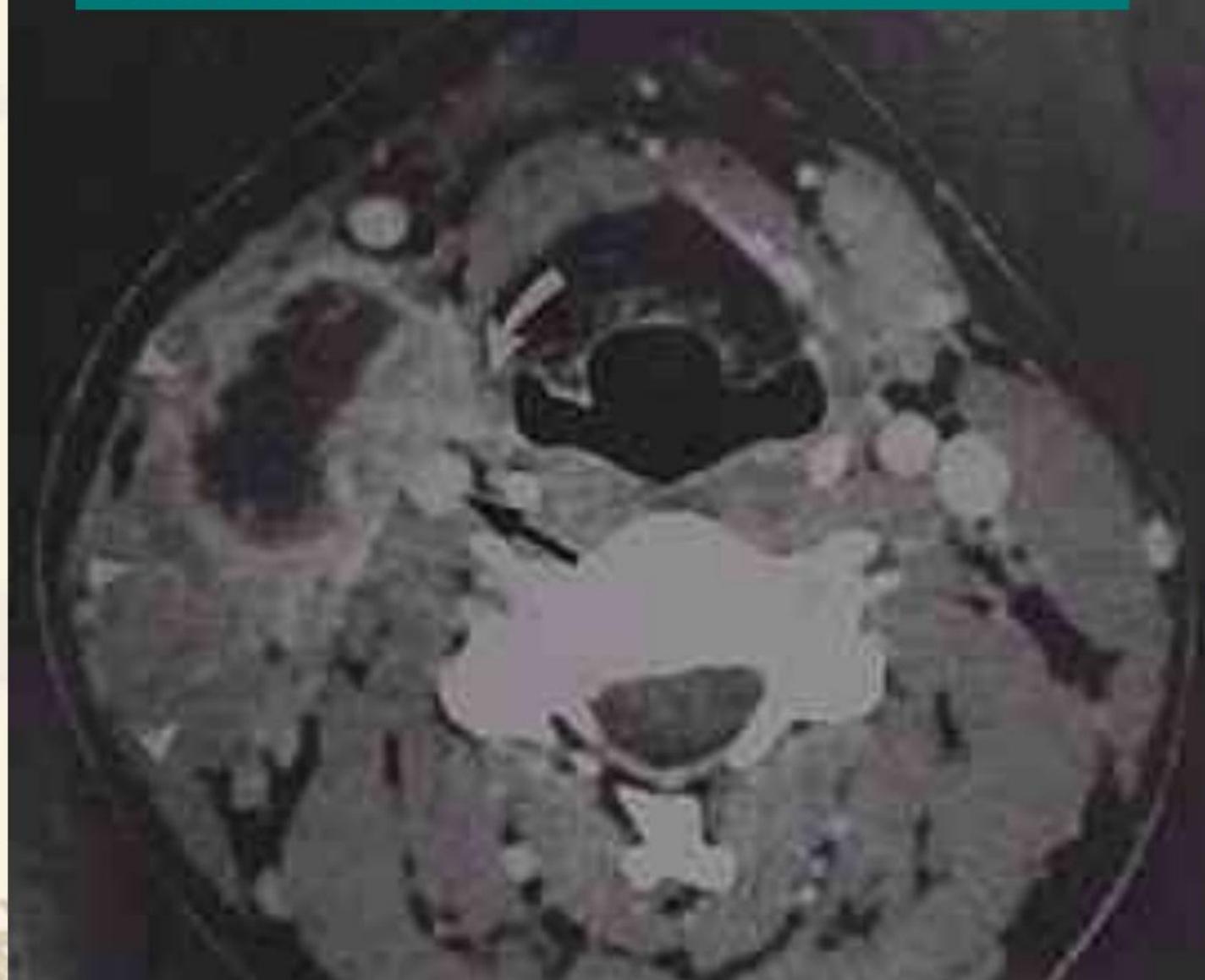
图 3-146 同图 3-145 病例的增强扫描见融合灶
环形强化 (↑)

- ❖ 诊断与鉴别诊断
- ❖ 单发者需与囊变的神经鞘瘤鉴别。
- ❖ 多发者与淋巴结转移或淋巴瘤鉴别；
- ❖ 淋巴结转移或淋巴瘤病灶较大，结核多偏小。
- ❖ 淋巴结转移或淋巴瘤增强后强化较轻，较均匀；并坏死时呈环形强化，壁厚、不规则。

颈部淋巴结转移瘤

- ❖ 淋巴结转移或淋巴瘤侵犯邻近结构。
- ❖ 淋巴结转移有原发癌病史；淋巴瘤有全身表现。
- ❖ PET在发现转移瘤方面有很高敏感性和特异性。

颈部脓肿类外侵的淋巴结坏死
箭头为胸锁乳突肌、直箭为颈总动脉
弯箭为右梨状窝壁



迂曲的颈总动脉
直箭为咽后血管
弯箭为转移淋巴结（有咽部鳞癌）



Figure 23. Tortuous common carotid artery. Contrast-enhanced axial CT scan. The patient presented with a laryngeal squamous cell carcinoma (not seen at this level). At endoscopy, the physician reported bulging of the posterior pharyngeal wall. Imaging discloses a rim-pharyngeal enhancing vessel (straight arrow). It also shows a jugulodigastric metastatic lymph node (curved arrow).

颈内静脉瘤栓伴转
移淋巴结
(左梨状窝癌)
直箭为转移淋巴结
弯箭为静脉内栓子

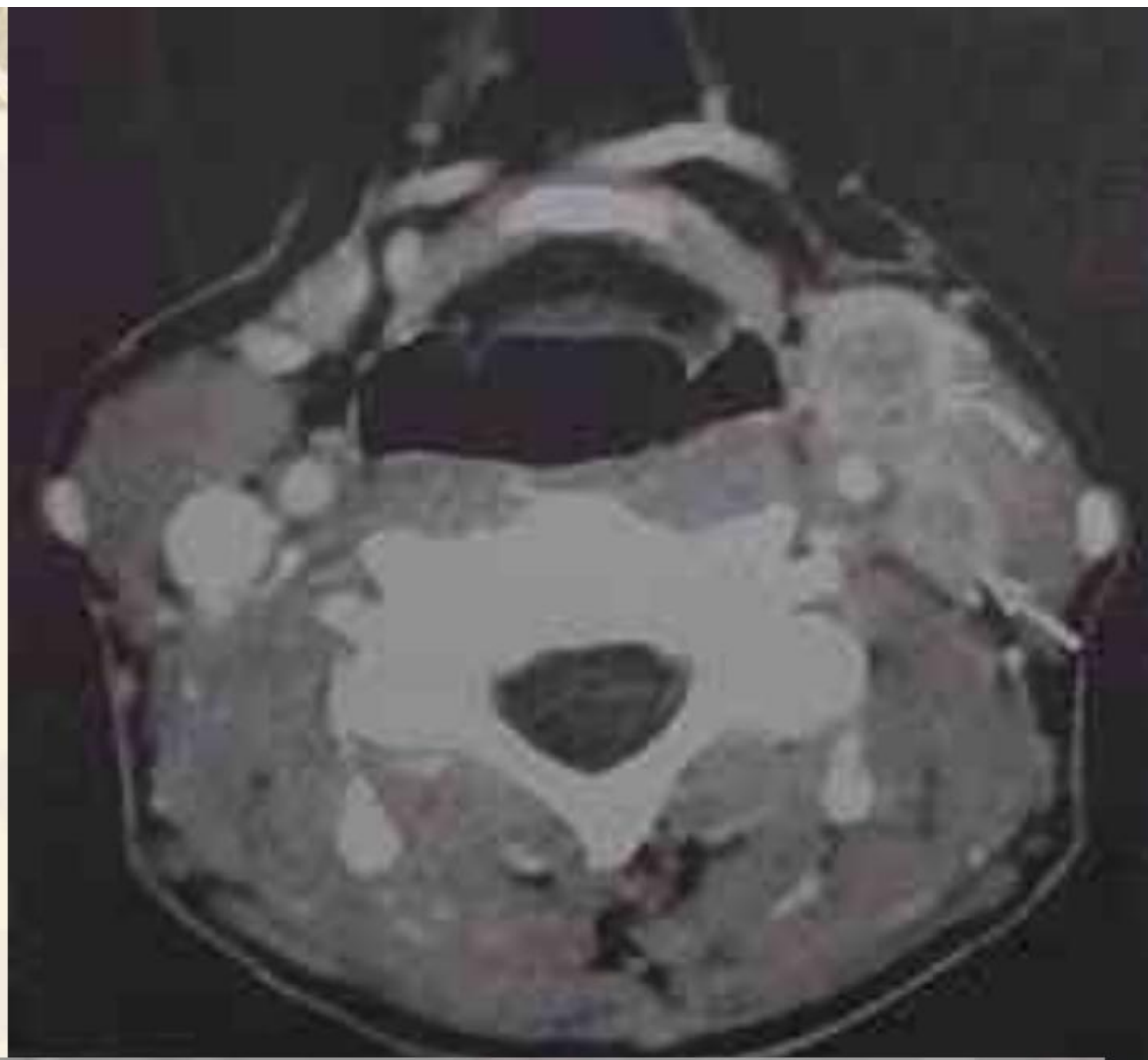
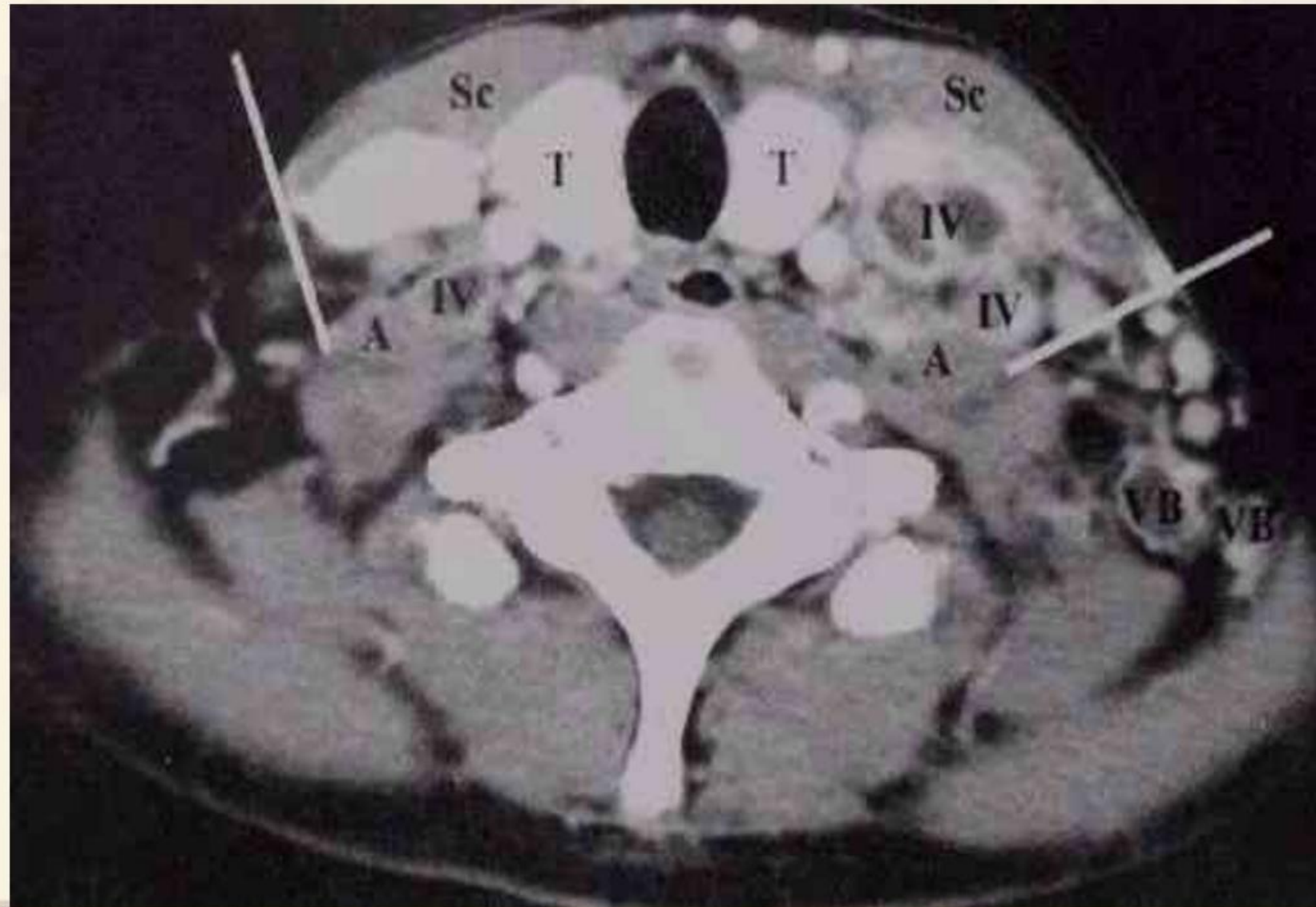


Figure 22. internal jugular vein associated with a metastatic lymph node. Contrast-enhanced axial CT scan. The patient presented with a squamous cell carcinoma of the left pyriform sinus (not seen at this level). The thrombosed vein (straight arrow) and the jugulodigastric lymph node with extracapsular spread (curved arrow) share similar imaging features.

48岁男性NPC颈淋巴转移



Male of 44,
lymphoma
(淋巴瘤)

